

شناخت و بررسی خصوصیات نانوذرات کیتوزان حاوی سم مار افعی قفقازی به منظور تهیه

سیستم آنتی زن رسانی و ادجوانات نوین

ناصر محمدپور دونیقی^{*}، مهشید جوادی^آ، حسین ذوالنقاریان^آ، محمدرضا عوادی^آ

خلاصه

مقدمه: کاربرد نانوذرات هیدروفیلیک در سال‌های اخیر به طور گسترده در سیستم‌های انتقال دارو و درمان مورد مطالعه قرار گرفته است. با توجه به معایب ادجوانات‌های سنتی، در تحقیق حاضر زهر مار افعی قفقازی در نانوذرات کیتوزان بارگیری گردید تا به عنوان سیستم آنتی زن رسانی پیشرفته و جایگزین سیستم‌های سنتی در صنعت تولید پادزه رود به کار رود.

روش: برای تهیه نانوذرات از روش ژلاسیون یونی پلیمر کیتوزان و Crosslinker استفاده شد و غلظت پلیمر، غلظت Crosslinker، اندازه ذرات، توزیع اندازه ذرات، پتانسیل سطحی، شکل و خصوصیات سطحی، بازده بارگیری (LE) و ظرفیت بارگیری (LC) یا Loading capacity به عنوان سیستم آنتی زن رسانی پیشرفته و اپتیمم سازی گردید.

یافته‌ها: غلظت مناسب پلیمر برای تهیه نانوذرات ۲ میلی‌گرم بر میلی‌لیتر، Crosslinker ۱ میلی‌گرم بر میلی‌لیتر و زهر افعی قفقازی ۵۰۰ میکرو‌گرم بر میلی‌لیتر به دست آمد. میانگین اندازه نانوذرات کیتوزان حاوی زهر در شرایط اپتیمم ۱۲۹ نانومتر، توزیع اندازه ذرات ۰/۴۱۸، پتانسیل سطحی ۴۱ میلی‌ولت، میزان LE و LC به ترتیب ۲/۱ ± ۸۸ و ۱/۹ ± ۸۲ درصد بود. طیف FTIR (Fourier transform infrared spectroscopy) نانوذرات نشان داد که بین کیتوزان و Crosslinker پیوند برقرار شده است و شکل کروی و سطح صاف و هموژن نانوذرات در میکروسکوپ الکترونی روبشی (SEM Scanning electron microscopy) مشخص گردید. در مطالعه رهایش زهر، آزادسازی سریع اولیه و سیستم آهسته رهش تا ۹۶ ساعت مشاهده شد.

نتیجه‌گیری: با توجه به نتایج تحقیق، می‌توان گفت که نانوذرات کیتوزان حاوی زهر می‌توانند جایگزین مناسبی برای ادجوانات‌های سنتی در صنعت تولید پادزه باشند.

واژه‌های کلیدی: کیتوزان، نانوذرات، مار افعی قفقازی، زهر، ژلاسیون یونی

۱- استادیار یوتکولوژی، استیتو رازی، کرج، ایران ۲- پژوهشگر، واحد علوم دارویی، دانشگاه آزاد اسلامی، واحد تهران، تهران، ایران ۳- دانشیار بیوشیمی، استیتو رازی، کرج، ایران

۴- استادیار فارماسیوتیکس، واحد تحقیق و توسعه، شرکت داروسازی حکیم، تهران، ایران

* نویسنده مسؤول، آدرس پست الکترونیک: nasser_mohammadpour@yahoo.com

دربافت مقاله: ۱۳۹۳/۱۱/۱۲ دریافت مقاله: ۱۳۹۴/۷/۲۸ پذیرش مقاله: ۱۳۹۴/۸/۵

مقدمه

ترکیبات نمکی آلومینیوم و کلسیم مانند فسفات آلومینیوم، هیدروکسید آلومینیوم، تارتارات پتاسیم-آلومینیوم و فسفات کلسیم به طور عموم مورد استفاده قرار می‌گرفته است. این ترکیبات غیر محلول، آنتیژن را جذب سطحی می‌کردند و با به تأخیر انداختن زمان رهش آن در محل تزریق زیر جلدی و عضلانی، مدت زمان تحریک سیستم ایمنی را طولانی می‌نمودند که این حالت اثری مشابه با چندین تزریق آنتیژن را دارد (۹-۱۱). نانوذرات کیتوزان به طور بسیار وسیعی تحت عنوان سیستم انتقال انواع عوامل پروتئینی همچون انسولین (۱۲)، توکسوئید دیفتری (۱۳)، زهر عقربها (۱۴-۱۷)، زهر مار (۱۱) و پروتئین‌ها (۹، ۱۸)، واکسیناسیون مخاطی (۲۰) و واکسن‌رسانی از طریق خوراکی (۲۱) مورد مطالعه قرار گرفته که نتایج به دست آمده در همه موارد چشمگیر بوده است.

به طور کلی ادجوانات‌ها از لحاظ تغوری امکان استفاده از دوز کمتر آنتیژن به منظور ایجاد پاسخ ایمنی بالا را فراهم می‌کنند. از جمله معايب ادجوانات‌های سنتی می‌توان به عدم پایداری، تجزیه سریع پس از تزریق، وقت‌گیر و پرهزینه بودن فرایند تولید آن، توانایی تقویت ایمنی زایی تا حدودی ضعیف و عوارض جانبی در محل تزریق اشاره کرد. بنابراین، تصمیم گرفته شد که طراحی سیستم‌های جایگزین با کارایی و پایداری بالاتر، ایمنی‌زایی بیشتر، عوارض و هزینه ساخت کمتر مد نظر قرار گیرد. امروزه سیستم‌های همراه با آزادسازی کنترل شده بر پایه نانوذرات، با موفقیت چشمگیری همراه بوده است. در تحقیق حاضر سعی شد تا از پلیمر زیست تخریب‌پذیر کیتوزان جهت تولید نانوذرات با آزادسازی کنترل شده زهر مار افعی قفقازی، به منظور کاربرد در فرایند تولید پادزهر استفاده گردد. برای تهیه نانوذرات کیتوزان، روش زوج یونی به کار گرفته شد.

امروزه نانوتکنولوژی پیشرفتهای وسیعی در کاربردهای پزشکی در ابعاد نانو داشته است. به طور مثال، با استفاده از روش‌های جدید، می‌توان نانوذرات را در حمل داروها به کار برد (۱). نانوذرات، ذرات کلوئیدی و جامدی با اندازه کوچک‌تر از میکرون هستند و شیمی سطح پیچیده‌ای دارند که دارای خصوصیات ویژه‌ای می‌باشد. افزایش سطح به دلیل کاهش اندازه ذرات، موجب تغییر فشار سطحی و همچنین، تغییر فاصله ذرات می‌گردد. افزایش نسبت سطح به حجم نانوذرات، باعث می‌شود که اتم‌های واقع در سطح، اثر بسیار بیشتری نسبت به اتم‌های درون بر خواص فیزیکی و شیمیایی ذرات داشته باشند. ریزتر شدن، موجب تماس و فعالیت بیشتر می‌شود و در نتیجه، واکنش‌پذیری نانوذرات به شدت افزایش می‌یابد. بر اساس این ویژگی‌ها، می‌توان از نانوذرات در حمل دارو استفاده نمود. نانوذرات حمل کننده دارو به طور معمول می‌توانند ظرفیت حمل و کارایی دارورسانی را افزایش دهند. در این بین، کیتوزان نسبت به سایر پلیمرهای طبیعی به طور چشمگیری مورد توجه قرار گرفته است (۲). کیتوزان یک پلی‌ساقارید طبیعی فراوان در طبیعت است که از داستیله شدن کیتین به دست می‌آید (۳)، کیتین نیز از واحدهای گلوكز آمین و N-استیل گلوكز آمین تشکیل شده است (۴). کیتوزان خواصی از جمله محرك سیستم ایمنی، مخاط جذبی، ضد میکروب و تسريع بهبود زخم دارد (۵-۷).علاوه بر این، به عنوان پلیمر مورد علاقه برای تهیه سیستم‌های واکسن‌رسانی و ادجوانات در فرمولاسیون واکسن‌ها به شمار می‌رود (۸).

ادجوانات‌ها پاسخ ایمنی در مقابل آنتیژن‌ها را تقویت می‌کنند، اما به خودی خود ایمنی‌زا نیستند. در گذشته

تهیه نانوذرات کیتوزان و بارگیری سم مار افعی قفقازی سدیم تری پلیفسفات پلیآئونی است که می‌تواند با کیتوزان واکنش الکترواستاتیکی داشته باشد (۵، ۲۶). در این روش کیتوزان در محلول آبی اسید استیک، به نحوی که غلظت اسید استیک در حلال مائی یک و نیم برابر کیتوزان حل شده باشد، به منظور ایجاد کاتیون کیتوزان محلول گردید و محلول سدیم تری پلیفسفات با غلظت یک میلی گرم بر میلی لیتر با حل شدن در آب دو بار تقطیر آماده شد. برای تهیه نانوذرات کیتوزان، محلول سدیم تری پلیفسفات به محلول کیتوزان با غلظت دو میلی گرم بر ۲۵ میلی لیتر در اسید استیک، به نسبت ۱ به ۲/۵، در دمای درجه سانتی گراد و با سرعت همزن ۱۰۰۰ دور در دقیقه اضافه گردید. سدیم تری پلیفسفات به عنوان Crosslinker عمل نمود و تحت شرایط مذکور نانوذرات کیتوزان تشکیل گردید (۲۷). برای تهیه نانوذرات کیتوزان حاوی سم، سم با غلظت ۵۰۰ میلی گرم بر میلی لیتر به ازای هر میلی لیتر از محلول به فاز آبی سدیم تری پلیفسفات اضافه شد و بقیه مراحل بر اساس مراحل ذکر شده انجام گرفت.

در مراحل بعدی، سوسپانسیون حاصل به مدت یک ساعت با سرعت $5000 \times g$ در دمای ۴ درجه سانتی گراد سانتریفوژ شد. سپس، رسوبات حاصل لیوفیلیزه گردید و وزن آن توسط ترازوی دیجیتال اندازه گیری شد.

بررسی ویژگی‌های نانوذرات کیتوزان و نانوذرات کیتوزان حاوی زهر

خصوصیات ظاهری با استفاده از میکروسکوپ الکترونی روبشی (SEM Scanning electron microscopy) از Resolution 35 angstroms AIS2300-SEI HITAC GHI نوع

مزیت این روش، امکان کار در شرایط ملایم بدون آسیب زدن به پروتئین‌های موجود در آنتیزن می‌باشد (۲۳، ۲۲). هدف اصلی از انجام این تحقیق، تهیه یک سیستم آنتیزن رسانی جدید و پیشرفته برای جایگزینی ادجوانات‌های سنتی به منظور کاربرد در تهیه پاذهر عیله مار افعی قفقازی بود.

روش بررسی

در پژوهش حاضر از سم مار افعی قفقازی تهیه شده در مؤسسه رازی به صورت پودر لیوفیلیزه استفاده شد. کیتوزان با وزن مولکولی پایین و درجه داستیلاسیون ۹۵ درصد (شرکت پریمکس، ایسلند) نیز به کار برده شد. سدیم تری پلیفسفات، اسید استیک، اسید فسفریک، متانول و کوماسی بریلیانت بلو G250 (Coomassie Brilliant Blue) مورد استفاده ساخت شرکت Merck (آلمان) بود.

از موش سوری با وزن ۲۱-۲۸ گرم برای تعیین میزان سمیت زهر مار افعی قفقازی استفاده شد که از بخش پروش حیوانات آزمایشگاهی مؤسسه رازی تهیه گردید.

بررسی و تعیین درجه سمیت (LD_{50}) زهر

برای تعیین سمیت زهر مار افعی قفقازی، LD_{50} زهر در موش‌های سوری ۲۰-۲۱ گرمی با استفاده از روش آماری Spearman-Karber و بر اساس روش Finney تعیین گردید (۲۴، ۲۵). به این ترتیب دوزهایی از زهر به صورتی انتخاب شدند که در اولین دوز هیچ موشی مرگ نداشته باشد و در آخرین دوز همه موش‌ها دچار مرگ شوند. از هر کدام از دوزهای مورد نظر، ۶ میلی لیتر تهیه شد و از هر دوز به ۶ سر موش هر کدام یک میلی لیتر به صورت داخل وریدی تزریق گردید. در نهایت، مرگ و میر موش‌ها طی ۲۴ ساعت ثبت و LD_{50} زهر محاسبه شد.

که در این معادلات، A مقدار سم کل، B مقدار سم آزاد شده و C وزن نانوذرات می‌باشد.

رهایش زهر از نانوذرات در شرایط آزمایشگاهی برای تعیین درصد رهایش زهر از نانوذرات، مقدار مشخص و مساوی از پودر لیوفیلیزه نانوذرات حاوی زهر در میکروتیوب‌هایی حاوی حجم مساوی از بافر فسفات سالین pH = ۶/۸ مولار با ۰/۱ (PBS) یا Phosphate buffered saline) و تحت شرایط سرعت همزنی ۴۰۰ دور در دقیقه و دمای ۳۷ درجه سانتی‌گراد در Shaker انکوباتور قرار داده شد. در فاصله‌های زمانی ۱، ۲، ۴، ۶، ۸، ۲۴، ۳۱، ۴۸، ۷۲ و ۹۶ ساعت یکی از میکروتیوب‌ها برداشت گردید و به مدت یک ساعت با سرعت $g \times 5000$ دور در دقیقه و در دمای ۴ درجه سانتی‌گراد سانتریفوژ شد. سپس، مقدار زهر آزاد شده از نانوذرات کیتوزان در سوپرناتانت مورد محاسبه قرار گرفت (۳۲).

نتایج

بررسی خواص فیزیکوشیمیایی نانوذرات کیتوزان و نانوذرات حاوی زهر میانگین اندازه، توزیع اندازه و پتانسیل زتای نانوذرات کیتوزان با غلظت ۲ میلی‌گرم بر میلی‌لیتر و سدیم تری پلیفسفات با غلظت ۱ میلی‌گرم بر میلی‌لیتر در شکل ۱ (قسمت‌های الف و ب) نشان داده شده است. همان‌گونه که مشاهده می‌گردد، نانوذرات دارای میانگین اندازه $۱۳۸/۳$ نانومتر، دارای توزیع اندازه ذرات $۰/۳۱۹$ و پتانسیل زتای $۴۲/۶$ میلی‌ولت بودند. میانگین اندازه، توزیع اندازه و پتانسیل زتای نانوذرات کیتوزان حاوی زهر در شکل ۲ (قسمت‌های الف و ب) ارایه شده است. میانگین اندازه

مورد بررسی قرار گرفت. همچنین، ساختار پلیمر و نانوذرات تهیه شده در این تحقیق توسط طیف طیف (FTIR (Fourier transform infrared spectroscopy) (jasco FTIR-410) بررسی شد. نمونه‌ها پودر شد و با KBr مخلوط گردید (۹۵ درصد KBr + ۵ درصد نمونه). در نهایت، قرص تهیه شد و در دستگاه قرار گرفت و طیف جذبی به دست آمد. در این مرحله برای اندازه‌گیری بار سطحی و همچنین، میانگین و توزیع اندازه ذرات از دستگاه زetasizer (Zetasizer) از نوع Malvern استفاده شد؛ بدین صورت که ابتدا نانوذرات به صورت سوسپانسیون تهیه گردید و ۱۵ دقیقه در دستگاه سونیکاتور قرار داده شد. سپس، پارامترهای مورد نظر اندازه‌گیری گردید (۲۸). برای تعیین مقدار پروتئین نمونه سم، از روش‌های Bradford و جذب UV استفاده شد (۳۰).

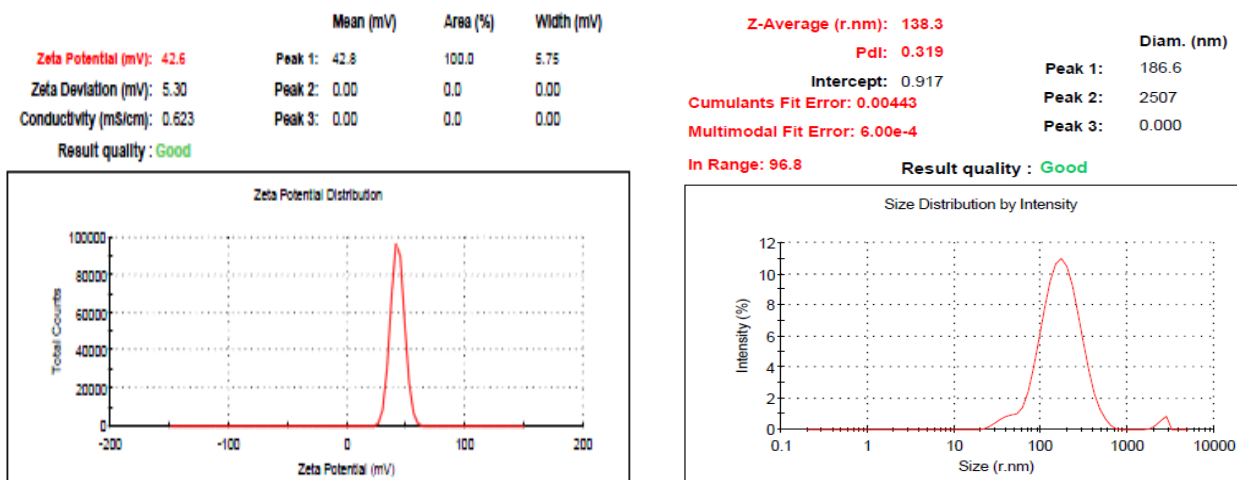
بررسی ظرفیت بارگیری (Loading capacity) یا LC و بازده بارگیری (Loading efficiency) یا LE زهر سوسپانسیون نانوذرات کیتوزان حاوی سم به مدت یک ساعت با سرعت $g \times 5000$ در دمای ۴ درجه سانتی‌گراد Freeze-Dried سانتریفوژ شد. رسوب حاصل شده جداسازی و گردید و وزن رسوبات توسط ترازوی دیجیتال به دقت اندازه‌گیری شد. میزان پروتئین سوپرناتانت به منظور ارزیابی بازده انکپسولاژیون اندازه‌گیری گردید. برای تعیین مقدار پروتئین، روش Bradford و سنجش اسپکتروفتومتری مورد استفاده قرار گرفت (۳۰). LC و LE زهر با استفاده از دو معادله محاسبه گردید (۳۱).

$$LC = (A-B)/C \times 100 \quad 1$$

$$LE = (A-B)/A \times 100 \quad 2$$

و پتانسیل زتا Zeta ۴۱/۶ میلیولت داشتند.

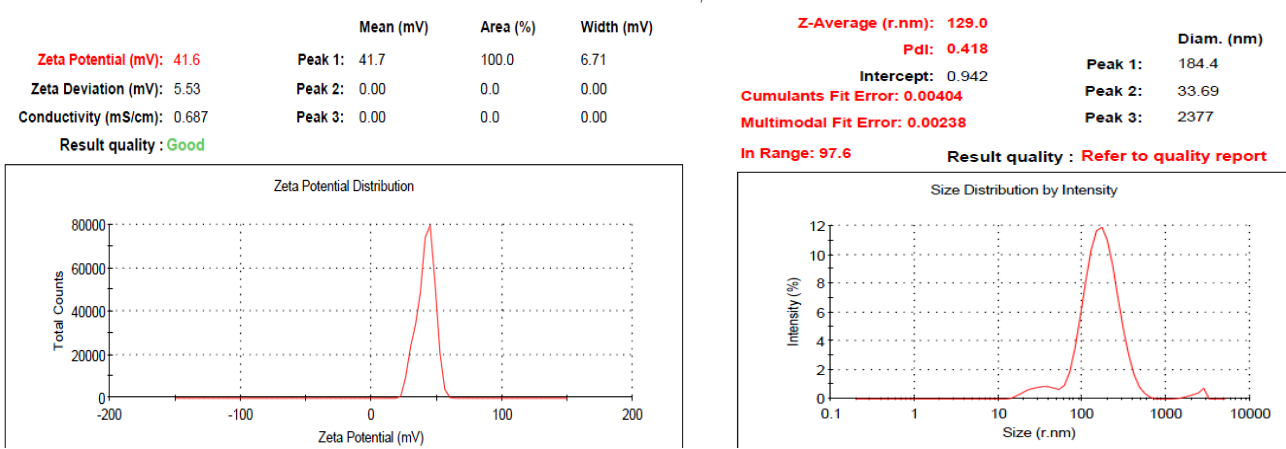
نانوذرات حاوی زهر ۱۲۹ نانومتر، توزیع اندازه ذرات ۰/۴۱۸



(ب)

(الف)

شکل ۱. میانگین اندازه، توزیع اندازه (الف) و پتانسیل زتا Zeta نانوذرات کیتوزان (ب) (کیتوزان ۲ میلیگرم بر میلیلیتر، تری پالی فسفات ۱ میلیگرم بر میلیلیتر)



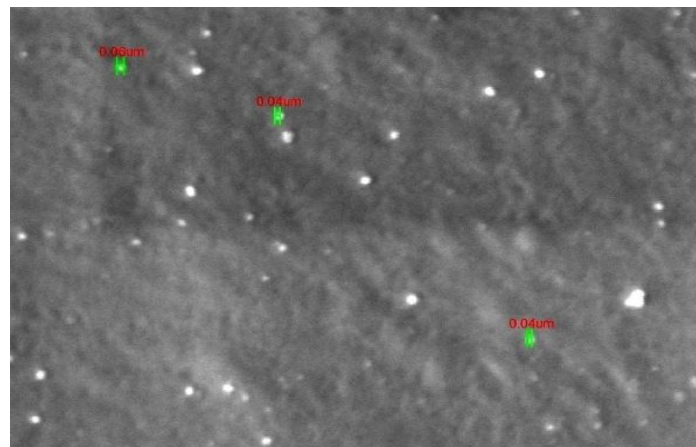
(ب)

(الف)

شکل ۲. میانگین اندازه، توزیع اندازه (الف) و پتانسیل زتا Zeta نانوذرات کیتوزان حاوی زهر (ب) (کیتوزان ۲ میلیگرم بر میلیلیتر، تری پالی فسفات ۱ میلیگرم بر میلیلیتر و زهر افعی قفقازی ۵۰۰ میکروگرم بر میلیلیتر)

بر میلیلیتر و سدیم تری پالی فسفات با غلظت ۱ میلیگرم بر میلیلیتر نشان داده شده است که شکل کروی، سطح صاف و همچنین، عدم تجمع نانوذرات و اندازه ذرات در حدود ۱۳۸ نانومتر مشاهده می‌گردد.

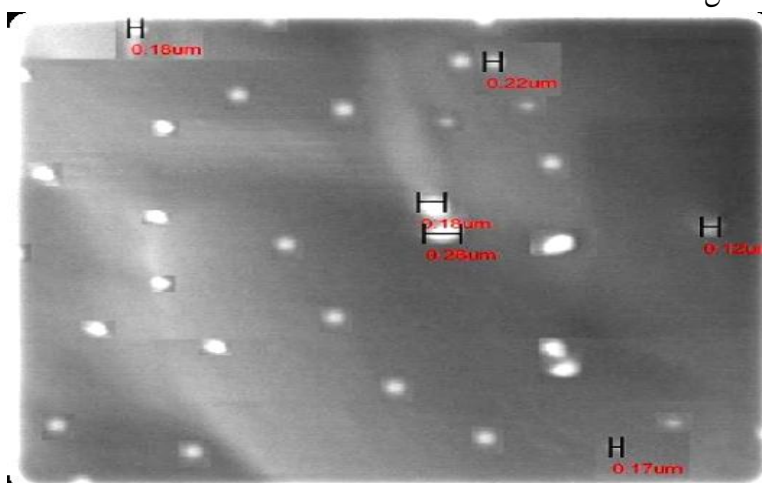
بررسی تصاویر SEM نانوذرات کیتوزان و نانوذرات کیتوزان حاوی زهر نانوذرات کیتوزان و نانوذرات حاوی زهر از لحاظ ریخت‌شناسی مورد بررسی قرار گرفتند. در شکل ۳، تصویر SEM گرفته شده از نانوذرات با غلظت کیتوزان ۲ میلیگرم



شکل ۳. تصویر SEM (Scanning electron microscopy) نانوذرات کیتوزان (کیتوزان ۲ میلی‌گرم بر میلی‌لیتر و تری پلی‌فسفات ۱ میلی‌گرم بر میلی‌لیتر)

همان گونه که مشاهده می‌گردد، نانوذرات دارای سطح صاف، شکل کروی، توزیع اندازه ذره‌ای مناسب بودند.

تصویر نانوذرات کیتوزان حاوی زهر با غلظت کیتوزان ۲ میلی‌گرم بر میلی‌لیتر و سدیم تری پلی‌فسفات با غلظت ۱ میلی‌گرم بر میلی‌لیتر در شکل ۴ نشان داده شده است.



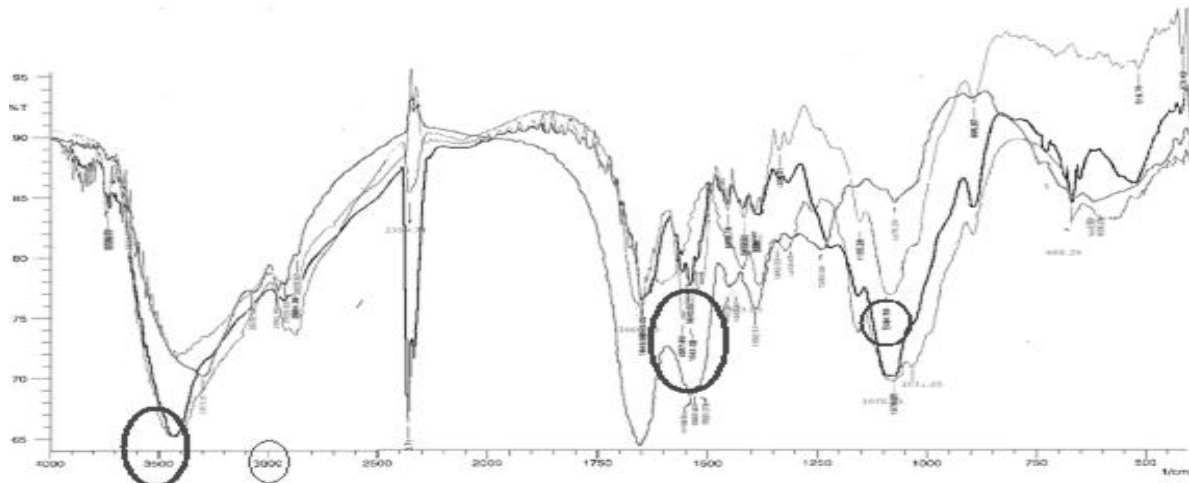
شکل ۴. تصویر SEM (Scanning electron microscopy) نانوذرات کیتوزان حاوی زهر (کیتوزان ۲ میلی‌گرم بر میلی‌لیتر، تری پلی‌فسفات ۱ میلی‌گرم بر میلی‌لیتر و زهر افعی قفقازی ۵۰۰ میکروگرم بر میلی‌لیتر)

مشاهده شد که شامل پیک پهن در محدوده 3500 cm^{-1} مربوط به ارتعاشات کششی گروه OH، پیک 1660 cm^{-1} مربوط به گروه کربونیل آمیدی و پیک 1078 cm^{-1} مربوط به گروه C-O-C داخل و خارج حلقه‌ای بود. در نانوذرات کیتوزان نیز پیک‌های شاخص 1541 cm^{-1} و 1649 cm^{-1}

بررسی ساختار زهر، کیتوزان، نانوذرات کیتوزان و نانوذرات کیتوزان حاوی زهر طیف FTIR زهر افعی قفقازی، کیتوزان، نانوذرات کیتوزان و نانوذرات کیتوزان حاوی زهر در شکل ۵ ارایه شده است. چند پیک شاخص در طیف FTIR کیتوزان

نанوذرات کیتوزان حاوی زهر مار، پیک محدوده cm^{-1} ۳۰۰۰-۳۴۰۰ پهن تر شده است.

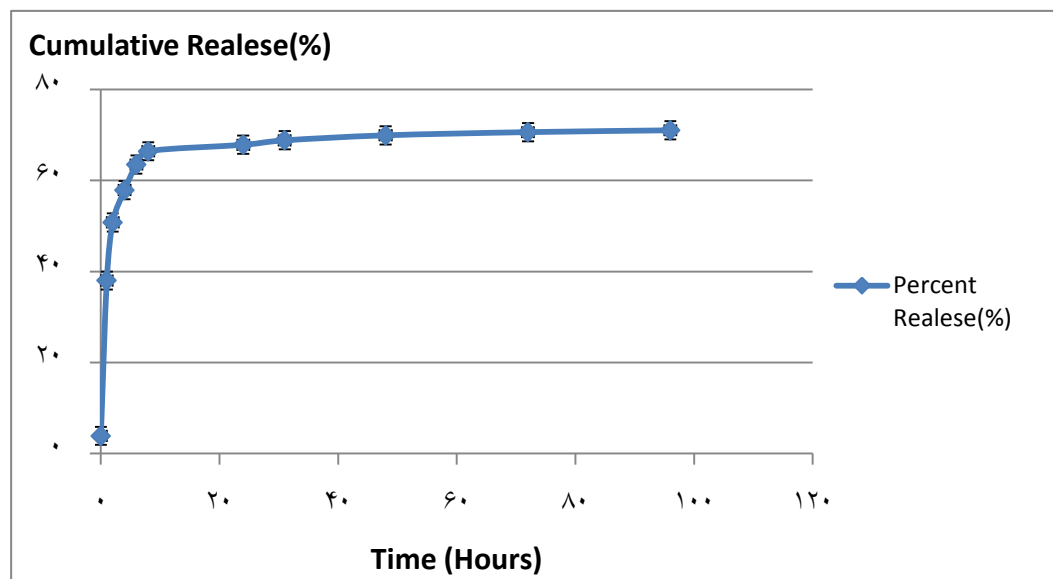
جابه جایی پیک 1660 cm^{-1} و پهن تر شدن پیک در محدوده $3000-3400\text{ cm}^{-1}$ وجود داشت. در طیف FTIR مربوط به



شکل ۵. طیف FTIR (ZnO، کیتوزان، نانوذرات کیتوزان و نانوذرات کیتوزان حاوی زهر

برای LC و LE ۵۰۰ میکروگرم بر میلی لیتر بود. همان‌گونه که در شکل ۶ نشان داده شده است، میزان LC در غلظت بهینه زهر حدود $1/9 \pm 82$ درصد و میزان LE نیز $2/1 \pm 88$ درصد به دست آمد.

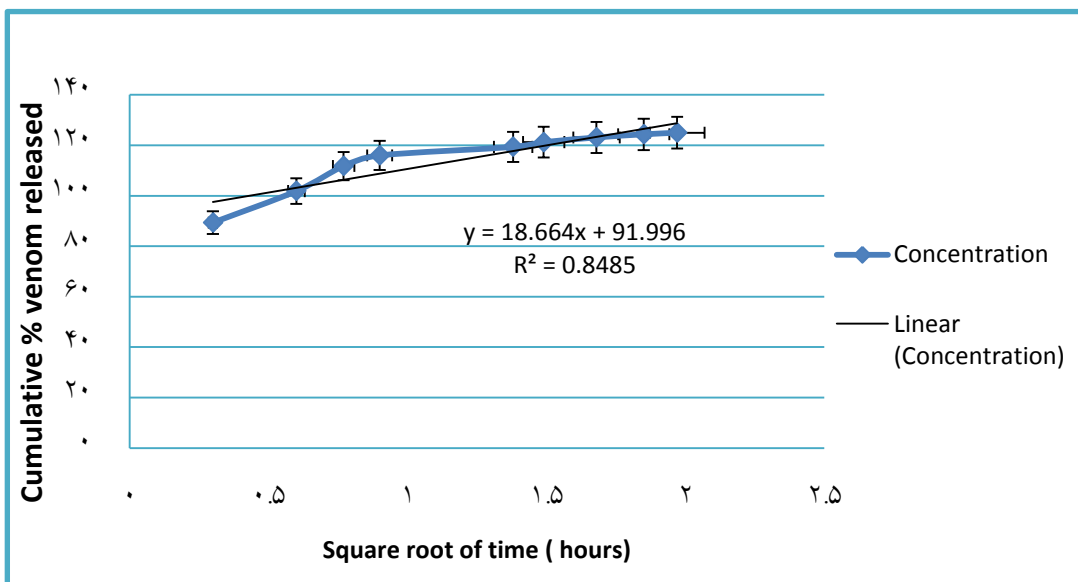
بررسی تأثیر غلظت زهر بر LC و LE نانوذرات غلظت اولیه سم بر میزان LC و LE زهر تأثیرگذار بود. تأثیر غلظت‌های مختلف زهر ($100, 200, 300, 400, 500, 600$ و 800 میکروگرم بر میلی لیتر) بر خصوصیات ذرات تهیه شده مورد بررسی قرار گرفت و غلظت بهینه



شکل ۶. الگوی آزادسازی نانوذرات حاوی زهر در شرایط آزمایشگاهی

آرامی از نانوذرات آزاد گردید. شکل آزادسازی زهر از نانوذرات نیز از نظر سینتیک درجه صفر، یک و هیگوشه مورد بررسی قرار گرفت که با توجه به بالا بودن ضریب رگرسیون خطی به دست آمده در شکل رهاسازی، میزان رهایش سه از نانوذرات کیتوزان بیشتر از سینتیک هیگوشی پیروی کرده است (شکل ۷).

بررسی میزان و سینتیک آزادسازی زهر از نانوذرات کیتوزان الگوی آزادسازی نانوذرات حاوی زهر در شرایط آزمایشگاهی در شکل ۶ ارایه شده است. بررسی روند آزادسازی زهر از نانوذرات به صورت دو مرحله‌ای می‌باشد و نشان داد که تا ۸ ساعت اولیه، زهر با سرعت بالای آزاد شد و بعد از ۸ ساعت (تا ۹۶ ساعت)، تا ۷۰ درصد سه به



شکل ۷. سینتیک آزادسازی نانوذرات حاوی زهر در شرایط آزمایشگاهی بر اساس مدل هیگوشی

گردید، نانوذرات کیتوزان و نانوذرات کیتوزان حاوی زهر مار افعی قفقازی به ترتیب دارای میانگین اندازه $138/3$ و 129 نانومتر، توزیع اندازه ذرات $0/319$ و $0/418$ و پتانسیل زتای $42/6$ و $41/6$ میلی ولت بودند. بارگیری زهر مار افعی قفقازی منجر به کاهش میانگین اندازه نانوذرات شد که شاید به دلیل کنش متقابل مولکول‌های زهر و پلیمر باشد که منجر به متراکم تر شدن و در نتیجه، کاهش میانگین اندازه ذرات می‌شود. افزایش توزیع اندازه ذرات می‌تواند به افزایش ویسکوزیته محیط ساخت نانوذرات به دنبال اضافه شدن زهر مرتبط باشد (۱۱). روند کاهشی در پتانسیل سطح نانوذرات طی مرحله بارگیری، بیانگر این امر است که در شرایط ساخت نانوذرات، مولکول‌های پروتئینی زهر دارای

مطالعات فعالیت زیستی زهر

برای بررسی فعالیت زیستی زهر، درجه سمیت (LD_{50}) آن در موش آزمایشگاهی مورد بررسی قرار گرفت. بر اساس نتایج به دست آمده، میزان فعالیت زهر بر اساس LD_{50} حدود $10/5$ میکروگرم به دست آمد. نتایج حاصل شده نشان دهنده سمیت بالای زهر این گونه از مار می‌باشد.

بحث

نانوذرات تهیه شده در شرایط بهینه (کیتوزان با غلظت 2 میلی گرم بر میلی لیتر و Crosslinker با غلظت 1 میلی گرم بر میلی لیتر) از نظر میانگین اندازه، توزیع اندازه و پتانسیل سطحی مورد بررسی قرار گرفت. همان‌گونه که بیان

و ناشی از واکنش گروه آمین کیتوزان با گروه کربوکسیل پروتئین‌های سمت است.

لازم به ذکر است که غلظت اولیه سمت اثرات مهمی بر میزان LC و LE می‌گذارد. نانوذرات تهیه شده در شرایط غلظت زهر $500\text{ }\mu\text{g}/\text{ml}$ بر میلی‌لیتر، مقدار $\text{LC} \pm 1/9$ درصد و $\text{LE} (21 \pm 8)\%$ درصد بسیار مناسب را نشان دادند. بنابراین، می‌تواند به عنوان غلظت بهینه زهر برای تهیه نانوذرات حاوی زهر در نظر گرفته شود.

یک سیستم آهسته رهش باید الگوی آزادسازی قابل قبولی داشته باشد. الگوی آزادسازی نانوذرات حاوی زهر در شرایط آزمایشگاهی مورد بررسی قرار گرفت. بررسی روند آزادسازی زهر از نانوذرات نشان داد که تا ۸ ساعت اولیه، زهر با سرعت بالایی آزاد می‌شود و این امر به دلیل وجود سم در قسمت‌های سطحی نانوذره و داشتن پیوند ضعیف با آن می‌باشد. بعد از ۸ ساعت (تا ۹۶ ساعت)، به دنبال نفوذ آب، تورم و فرسایش نانوذره، تا ۷۰ درصد سم به آرامی از نانوذرات آزاد می‌گردد. در ابتدا سرعت آزادسازی سم زیاد و سرعت تغیری کم است، اما با گذشت زمان به دلیل کاهش غلظت پروتئین سمت در نانوذرات، سرعت آزادسازی کاهش می‌یابد و سرعت تغیری در محیط افزایش پیدا می‌کند. بر اساس بررسی ضریب رگرسیون خطی به دست آمده در شکل رهاسازی، میزان رهایش سمت نانوذرات کیتوزان در بیشتر موارد از سینتیک هیگوشی پیروی می‌کند که سینتیک آزادسازی مطلوب برای سیستم‌های آهسته رهش ماتریکسی به شمار می‌رود (۳۴).

با توجه به این که زهر باید سمیت بالایی داشته باشد تا ضرورت تهیه پادزهر علیه آن وجود داشته باشد، سمیت زهر مار افعی قفقازی در این مطالعه به روش درون تن بر روی موش آزمایشگاهی و درجه سمیت آن بر اساس LD_{50} تعیین شد. نتایج میزان فعالیت زهر بر اساس LD_{50} در حدود $10/5\text{ mg}/\text{kg}$ برآورد گردید که حاکی از سمیت بالای زهر این مار و ضرورت تهیه پادزهر علیه آن می‌باشد.

بار منفی هستند و با واکنش با گروه‌های آمونیوم دارای بار مثبت پلیمر کیتوزان، منجر به کاهش پتانسیل سطحی نانوذرات می‌شوند.

بررسی خصوصیات ریخت‌شناسی نانوذرات کیتوزان و نانوذرات کیتوزان حاوی زهر نشان داد که نانوذرات در هر دو حالت دارای شکل کروی و سطح صاف بودند و تجمع نانوذرات مشاهده نمی‌شود و توزیع اندازه ذره‌ای مناسب بود. این امر بیان کننده شرایط بهینه تولید نانوذرات در غلظت و ویسکوزیته مناسب کیتوزان و همچنین، غلظت مناسب اتصال دهنده سدیم تری پلی‌فسفات می‌باشد.

ساخтар زهر، کیتوزان، نانوذرات کیتوزان و نانوذرات کیتوزان حاوی زهر با تهیه طیف FTIR مورد بررسی قرار گرفت. پیک پهنه در محدوده 3500 cm^{-1} در طیف FTIR کیتوزان، مربوط به ارتعاشات کششی گروه OH می‌باشد و باعث همپوشانی با ارتعاشات گروه آمینی موجود در ساختمان کیتوزان شده است. پیک 1660 cm^{-1} مربوط به گروه کربونیل آمیدی است؛ چرا که کیتوزان مورد استفاده در این آزمایش به صورت ۹۵ درصد داستیله شده بود. بنابراین، پیک مشاهده شده قبل می‌باشد که در نانوذرات کیتوزان به دو پیک 1541 cm^{-1} و 1549 cm^{-1} تبدیل شده است. همچنین، پیک 1078 cm^{-1} مربوط به گروه C-O-C داخل و خارج حلقه‌ای قابل مشاهده است (۳۳).

پس از اتصال الکترواستاتیکی بین گروه NH_3^+ کیتوزان و P=O سدیم تری پلی‌فسفات به دلیل تغییر در محیط شیمیایی اطراف، گروه آمیدی کیتوزان موجب جابه‌جایی پیک 1660 cm^{-1} می‌شود (۱۱، ۱۴، ۱۵). همچنین، پهنه تر شدن پیک در محدوده $3400-3000\text{ cm}^{-1}$ ، ناشی از افزایش پیوندهای هیدروژنی است و نشان می‌دهد که نانوذرات کیتوزان تشکیل شده‌اند. طیف FTIR مربوط به نانوذرات کیتوزان حاوی زهر مار در محدوده $3400-3000\text{ cm}^{-1}$ پهنه تر شده بود که بیانگر افزایش پیوند هیدروژنی می‌باشد.

نتیجه‌گیری

در مطالعه حاضر نانوذرات کیتوزان حاوی سم مار افعی قفقازی به روش زوج یونی با خصوصیات مطلوب، LC و LE بالا با توانایی حفظ فعالیت بیولوژیکی سم که در سیستم‌های انتقال آنتی‌زن و صنعت تولید پادزه ر بسیار حایز اهمیت است، با موققیت تهیه گردید.

سیستم‌های سنتی آنتی‌زن رسانی در صنعت تولید پادزه ر از نوع امولسیون‌های W/O (Water-in-Oil) می‌باشد که میزان بارگیری پایین دارند و ماهیت روغنی سیستم موجب تخریب بخش قابل توجهی از سم می‌شود. همچنین، به دلیل

References

1. Jain KK. Nanopharmaceuticals. In: Jain KK, Editor. The handbook of nanomedicine. Berlin, Germany: Springer Science & Business Media; 2008. p. 119-60.
2. Shahbazi MA, Hamidi M, Peymani P. Interaction of chitosan, a natural polymer used in nanodrug/gene delivery, with Non-Steroidal Anti-Inflammatory Drugs (NSAIDs). *The Internet Journal of Nanotechnology* 2008; 2(2): 1-7.
3. Illum L. Chitosan and its use as a pharmaceutical excipient. *Pharm Res* 1998; 15(9): 1326-31.
4. Bowman K, Leong KW. Chitosan nanoparticles for oral drug and gene delivery. *Int J Nanomedicine* 2006; 1(2): 117-28.
5. Agnihotri SA, Mallikarjuna NN, Aminabhavi TM. Recent advances on chitosan-based micro- and nanoparticles in drug delivery. *J Control Release* 2004; 100(1): 5-28.
6. Lai WF, Lin MC. Nucleic acid delivery with chitosan and its derivatives. *J Control Release* 2009; 134(3): 158-68.
7. Nwe N, Furuike T, Tamura H. The mechanical and biological properties of chitosan scaffolds for tissue regeneration templates are significantly enhanced by chitosan from gongronella butleri. *Materials* 2009; 2(2): 374-98.
8. Borges O, Silva M, de Sousa A, Borchard G, Junginger HE, Cordeiro-da-Silva A. Alginate coated chitosan nanoparticles are an effective subcutaneous adjuvant for hepatitis B surface antigen. *Int Immunopharmacol* 2008; 8(13-14): 1773-80.
9. Cui Z, Mumper RJ. The effect of co-administration of adjuvants with a nanoparticle-based genetic vaccine delivery system on the resulting immune responses. *Eur J Pharm Biopharm* 2003; 55(1): 11-8.
10. Gupta RK, Rost BE, Relyveld E, Siber GR. Adjuvant properties of AL and CA

- compounds. In: Powell M, Newman M, Burdman JR, Editors. *Vaccine design: the subunit and adjuvant approach*. New York, NY: Plenum Press; 1995. p. 229-48.
11. Mohammadpourdounighi N, Behfar A, Ezabadi A, Zolfagharian H, Heydari M. Preparation of chitosan nanoparticles containing *Naja naja oxiana* snake venom. *Nanomedicine* 2010; 6(1): 137-43.
 12. Avadi MR, Sadeghi AM, Mohammadpour N, Abedin S, Atyabi F, Dinarvand R, et al. Preparation and characterization of insulin nanoparticles using chitosan and Arabic gum with ionic gelation method. *Nanomedicine* 2010; 6(1): 58-63.
 13. Rezaei Mokarram A, Alonso M. Preparation and evaluation of chitosan nanoparticles containing Diphtheria toxin as new carriers for nasal vaccine delivery in mice. *Archives of Razi Institute* 2006; 61(1): 13-25.
 14. Mohammadpour Dounighi N, Eskandari R, Avadi MR, Zolfagharian H, Mir Mohammad Sadeghi A, Rezayat M. Preparation and in vitro characterization of chitosan nanoparticles containing *Mesobuthus eupeus* scorpion venom as an antigen delivery system. *J Venom Anim Toxins incl Trop Dis* 2012; 18(1): 44-52.
 15. Mohammadpour Dounighi N, Damavandi M, Zolfagharian H, Moradi S. Preparing and characterizing chitosan nanoparticles containing *Hemiscorpius lepturus* scorpion venom as an antigen delivery system. *Archives of Razi Institute* 2012; 67(2): 145-53.
 16. Mohammadpour Dounighi N, Yazdizadeh R, Zolfagharian H. A new antigen delivery vehicle candidate: Orthochirus iranus scorpion venom entrapped in chitosan nanoparticles. *British Journal of Pharmaceutical Research* 2015; 7(4): 264-75.
 17. Ghorban Dadras O, Mir Mohammad Sadeghi A, Farhangi N, Forouhar N, Mohammadpour N, Avadi MR. Preparation, characterization and in vitro studies of chitosan nanoparticles containing *androctonus crassicauda* scorpion venom. *Journal of Applied Chemical Research* 2013; 7(3): 35-46.
 18. Calvo P, Remuñán-López C, Vila-Jato JL, José Alonso M. Novel hydrophilic chitosan-polyethylene oxide nanoparticles as protein carriers. *J Appl Polym Sci* 1998; 63(1): 125-32.
 19. Xu Y, Du Y. Effect of molecular structure of chitosan on protein delivery properties of chitosan nanoparticles. *International Journal of Pharmaceutics* 2003; 250(1): 215-26.
 20. Borges O, Borchard G, Verhoef JC, de Sousa A, Junginger HE. Preparation of coated nanoparticles for a new mucosal vaccine delivery system. *Int J Pharm* 2005; 299(1-2): 155-66.
 21. Farhadian A, Dounighi NM, Avadi M. Enteric trimethyl chitosan nanoparticles containing hepatitis B surface antigen for oral delivery. *Hum Vaccin Immunother* 2015; 1-8.
 22. Pan Y, Li YJ, Zhao HY, Zheng JM, Xu H, Wei G, et al. Bioadhesive polysaccharide in protein delivery system: chitosan

- nanoparticles improve the intestinal absorption of insulin in vivo. *Int J Pharm* 2002; 249(1-2): 139-47.
23. Fernandez-Urrusuno R, Calvo P, Remunan-Lopez C, Vila-Jato JL, Alonso MJ. Enhancement of nasal absorption of insulin using chitosan nanoparticles. *Pharm Res* 1999; 16(10): 1576-81.
 24. Finney DJ. The median lethal dose and its estimation. *Arch Toxicol* 1985; 56(4): 215-8.
 25. Possani LD, Fletcher PL, Alagon AB, Alagon AC, Julia JZ. Purification and characterization of a mammalian toxin from venom of the Mexican scorpion, Centruroides limpidus tecomanus Hoffmann. *Toxicon* 1980; 18(2): 175-83.
 26. Dustgani A, Vasheghani-Farahani E, Imani M. Determination of the optimum conditions for production of chitosan nanoparticles. *Polymer Science and Technology* 2008; 20(5): 457-64.
 27. Domard A. Determination of N-acetyl content in chitosan samples by c.d. measurements. *International Journal of Biological Macromolecules* 1987; 9(6): 333-6.
 28. Harris R, Lecumberri E, Mateos-Aparicio I, Meng-bar M, Heras A. Chitosan nanoparticles and microspheres for the encapsulation of natural antioxidants extracted from *Ilex paraguariensis*. *Carbohydrate Polymers* 2011; 84(2): 803-6.
 29. Sarei F, Mohammadpour Dounighi N, Zolfagharian H, Khaki P, Bidhendi SM. Alginate Nanoparticles as a Promising Adjuvant and Vaccine Delivery System. *Indian J Pharm Sci* 2013; 75(4): 442-9.
 30. Saraei F, Mohammadpour Dounighi N, Zolfagharian H, Moradi Bidhendi S, Khaki P, Inanlou F. Design and evaluate alginate nanoparticles as a protein delivery system. *Archives of Razi Institute* 2013; 68(2): 139-46.
 31. Noble JE, Knight AE, Reason AJ, Di Matola A, Bailey MJ. A comparison of protein quantitation assays for biopharmaceutical applications. *Mol Biotechnol* 2007; 37(2): 99-111.
 32. van der Lubben IM, Kersten G, Fretz MM, Beuvery C, Coos VJ, Junginger HE. Chitosan microparticles for mucosal vaccination against diphtheria: oral and nasal efficacy studies in mice. *Vaccine* 2003; 21(13-14): 1400-8.
 33. Yuan Q, Shah J, Hein S, Misra RD. Controlled and extended drug release behavior of chitosan-based nanoparticle carrier. *Acta Biomater* 2010; 6(3): 1140-8.
 34. Dash S, Murthy PN, Nath L, Chowdhury P. Kinetic modeling on drug release from controlled drug delivery systems. *Acta Pol Pharm* 2010; 67(3): 217-23.

Preparation and Characterization of *Akistrodon Halys* Venom Entrapped Chitosan Nanoparticles: Novel and Advanced Antigen Delivery and Adjuvant System

Naser Mohammadpour Dounighi, Ph.D.^{1*}, Mahshid Javadi, M.Sc.², Hossein Zolfagharian, Ph.D.³, Mohammad Reza Awadi, Ph.D.⁴

1. Assistant Professor of Biotechnology, Human Vaccines and Sera Dept, Razi Vaccine and Sera Research Institute, Karaj, Iran
2. Researcher, Pharmaceutical Branch of Islamic Azad University of Tehran, Tehran, Iran

3. Associate professor of Biochemistry, Human Vaccines and Sera Dept, Razi Vaccine and Sera Research Institute, Karaj, Iran.

4. Assistant professor of Pharmaceutics, Research and Development Dept, Hakim Pharmaceutical Company

* Corresponding author; e-mail: nasser_mohammadpour@yahoo.com

(Received: 10 Feb 2015 Accepted: 26 Oct. 2015)

Abstract

Background & Aims: In recent years, the feasibility of hydrophilic nanoparticles has been broadly investigated for use in drug delivery and therapeutic systems. Due to the problems of traditional adjuvants, in this study *Akistrodon halys* (Ah) Snake venom was loaded in chitosan nanoparticles (CS NPs) in order to be used as an advanced adjuvant and antigen delivery system in antidote production industry.

Methods: CS NPs containing Ah venom were prepared using ionic gelation and crosslinker method. In this study, polymer concentration, cross-linker concentration, particles size, particle size distribution, zeta potential, particles shape and surface characteristics, loading efficiency, loading capacity, and particles structure were optimized.

Results: Optimum concentration achieved were chitosan 2mg/ml and cross-linker 1mg/ml and *Akistrodon Halys* snake venum 500 mg/ml. Mean particle size, polydispersity index (PDI), and zeta potential of of venom-loaded CS NPs were respectively 129 nm, 0.418 and 41 mV. The loading capacity (LC) and loading efficiency (LE) were 82 ± 1.9 and 88 ± 2.1 , respectively. Fourier transform infrared spectroscopy of nanoparticles showed between chitosan and crosslinker. An initial burst release and second slow release up to 96 hours was observed.

Conclusion: The obtained results suggested that venom-loaded CS NPs could be a suitable alternative to conventional adjuvant for manufacturing antivenom.

Key word: Chitosan, Nanoparticles, *Akistrodon halys*, Venom, Ionic gelation

Journal of Kerman University of Medical Sciences, 2016; 23(5): 618-630